

# МОЛЕКУЛЯРНАЯ ПОДВИЖНОСТЬ В ТВЕРДОМ ХЛОРБЕНЗОЛЕ

А. Д. Гордеев, А. П. Жуков, Г. Б. Сойфер

Одним из первых объектов, в котором с помощью магнитного резонанса наблюдалась реориентационная молекулярная подвижность в твердом теле, был кристаллический бензол [1]. Различные методики ЯМР  $^1\text{H}$  использовались впоследствии рядом авторов при изучении внутреннего движения в этом веществе [2–7], в результате чего для твердого бензола установлено наличие реориентации молекул относительно их оси симметрии шестого порядка и самодиффузии в кристаллической решетке с энергиями активации  $\sim 18$  и  $\sim 90$  кДж/моль соответственно. Возникает вопрос,

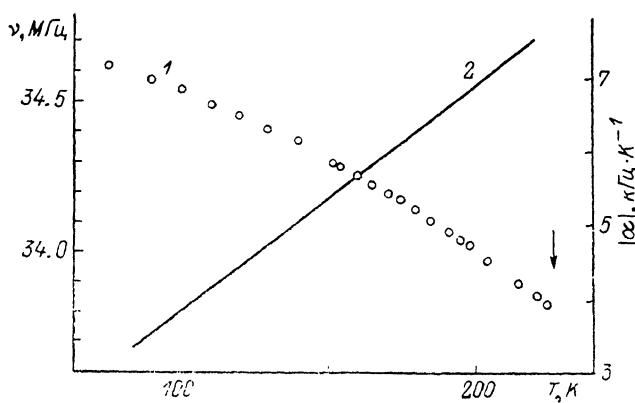


Рис. 1. Температурные зависимости резонансной частоты ядер хлора-35 (1) и ее температурного коэффициента  $\alpha$  (2) в кристаллическом хлорбензole.

Стрелкой показана точка плавления.

сохранится ли в кристалле реориентационная подвижность подобной молекулы, если ее симметрия будет нарушена замещением одного атома водорода, а также какова энергетическая характеристика такого движения, если оно имеет место?

С целью выяснения этого вопроса в настоящей работе был изучен монохлорзамещенный бензол в твердом состоянии, для чего использован метод ядерного квадрупольного резонанса (ЯКР), как обладающий высокой чувствительностью к динамическим процессам в кристалле. Исследование выполнено импульсным методом ЯКР хлора-35 в диапазоне температур от 77 К до точки плавления (227 К) при термостатировании образца с точностью 0.5–1.0 К. Измерялись температурные зависимости резонансной частоты  $\nu$  и времени  $T_1$  квадрупольной спин-решеточной релаксации ядер  $^{35}\text{Cl}$ . Для повышения надежности получаемых выводов измерения зависимости  $T_1(T)$  проводились с помощью разных методик соответственно на двух приборах с разными образцами хлорбензола: товарный образец квалификации «хх» был изучен на некогерентном импульсном спектрометре методом «прогрессивного насыщения» сигнала спинового эха, а образец лабораторного изготовления — четырехимпульсным методом на приборе типа ИСШ (преимуществом последнего явилась аппаратурная возможность использовать сигнал спинового эха для проведения измерений времени  $T_1$  приблизительно на 15 град выше по температуре, чем на другом спектрометре). Из реализации этих двух измерительных вариантов при практически совпадающих температурных зависимостях

частоты ЯКР  $^{35}\text{Cl}$  (рис. 1) получены несколько сдвинутые одна относительно другой кривые  $T_1(T)$  (рис. 2).

Линия ЯКР  $^{35}\text{Cl}$  в хлорбензоле (ее частота при 77 К известна ранее [8]) наблюдается вплоть до плавления образца, проявляя, однако, тенденцию к «увяданию» (отношение сигнал/шум за счет уширения резонансной линии уменьшается при нагревании кристалла значительно резче, чем это вызывается обычным температурным фактором). Зависимость  $\nu(T)$ , демонстрирующая отсутствие фазового перехода в исследованном диапазоне температур, согласуется с приведенной в [9, 10], а линейное по температуре изменение температурного коэффициента частоты ЯКР  $^{35}\text{Cl}$   $\alpha \equiv \Delta\nu/\Delta T$  говорит о квазигармоническом режиме молекулярных либрационных колебаний, определяющих температурное поведение резонансной частоты (рис. 1).

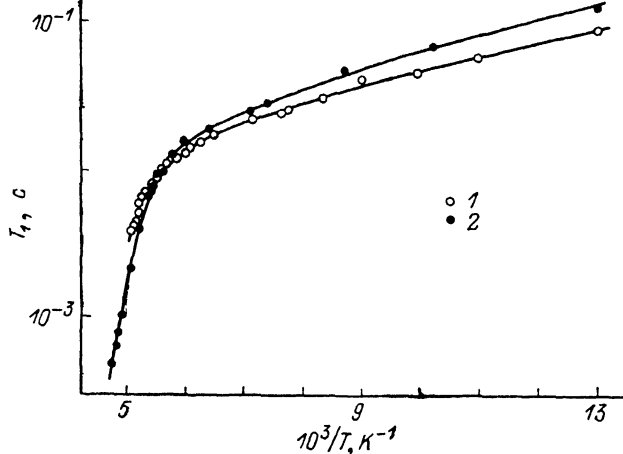


Рис. 2. Температурная зависимость времени ядерной квадрупольной спин-решеточной релаксации хлора-35 в двух образцах кристаллического хлорбензола, измеренных с помощью разных методик.

1 — некогерентный импульсный ЯКР спектрометр, 2 — прибор ЯКР типа ИСШ. Сплошные кривые  $T_1(T)$  рассчитаны по уравнениям (1) и (2) соответственно.

В то же время в ядерной квадрупольной спин-решеточной релаксации  $^{35}\text{Cl}$  кристаллического хлорбензола наряду с либрационным механизмом, которому свойственно температурное изменение скорости релаксации по степенному закону  $(T_1^{-1})_{\text{либр}} = aT^n$  [11] (с показателем степени  $n$ , отличным от 2 в соответствии с квазигармоническим характером молекулярных либраций), отчетливо проявляется другой механизм, доминирующий при более высоких температурах. Действие этого механизма выражается в экспоненциальном сокращении времени  $T_1$  с ростом температуры (рис. 2), что служит доказательством существования в образце термоактивационного процесса [11].

В целом температурное поведение скорости релаксации с учетом независимости двух вкладов — либрационного и термоактивационного — описывается аддитивным выражением [11]  $T_1^{-1}(T) = (T_1^{-1})_{\text{либр}} + (T_1^{-1})_{\text{терм}} = = aT^n + b \exp(-E_a/RT)$ , где параметры  $a$ ,  $n$ ,  $b$  и энергия активации  $E_a$  определяются из обработки экспериментальных данных. По результатам каждой из двух вышеизложенных измерительных процедур зависимость  $T_1^{-1}(T)$  имеет вид ( $T_1$  — в секундах)

$$T_1^{-1} = 6.6 \cdot 10^{-4} T^{2.8} + 4.0 \cdot 10^{11} \exp(-E_a/RT), \quad (1)$$

где  $E_a = 36$  кДж/моль (некогерентный спектрометр), и

$$T_1^{-1} = 8.7 \cdot 10^{-5} T^{2.6} + 7.5 \cdot 10^{13} \exp(-E_a/RT), \quad (2)$$

где  $E_a = 43$  кДж/моль (прибор ИСШ).

Относительные ошибки определения параметров выражений (1) и (2) в каждой из двух измерительных процедур примерно одинаковы и равны (%):  $a$  — около 30,  $n$  — 5,  $b$  — около 80,  $E_a$  — 5. Различие же величин этих параметров, полученных по двум разным методикам, связано с систематическими погрешностями. Но при этом следует заметить, что, несмотря на отличие в формулах (1), (2) параметров  $b$  друг от друга по величине на два порядка (это связано с различием величин  $E_a$ ), обе измерительные процедуры дают одного порядка значения скорости термоактивированного движения при фиксированной температуре. Так, при 200 К эти скорости (их величина прямо пропорциональна  $(T_1^{-1})_{\text{терм}}$  с коэффициентом пропорциональности, близким к единице) в названных вариантах измерений равны  $\sim 2 \cdot 10^2$  и  $\sim 4 \cdot 10^2$   $\text{с}^{-1}$  соответственно.

Таким образом, данные ЯКР спектроскопии (ущиление резонансной линии и экспоненциальное сокращение времени  $T_1$ ) свидетельствуют о наличии в кристаллическом хлорбензоле движения молекул, энергия активации которого равна  $\sim 40$  кДж/моль.

Для идентификации наблюдаемого динамического процесса требуется дополнительное рассмотрение. В работе [12] термоактивированное движение молекул 1,2,3-трихлорбензола, изученное также с помощью метода ЯКР  $^{35}\text{Cl}$ , трактуется как их перемещение по вакансиям в кристаллической решетке. В случае твердого хлорбензола представляется более вероятной реориентация молекул относительно оси, перпендикулярной плоскости бензольного кольца. Об этом говорит, во-первых, то, что в обсуждаемой динамике хлорбензола должен содержаться поворот связи C—Cl, так как для экспоненциального сокращения времени  $T_1$   $^{35}\text{Cl}$  необходимо скачкообразное изменение направления или величины градиента электрического поля на ядре хлора, т. е. в данном случае изменение ориентации связи C—Cl. Во-вторых, найденная в настоящей работе величина энергии активации молекулярного движения в твердом хлорбензоле существенно меньше энергии активации самодиффузии по вакансиям в кристалле даже незамещенного бензола (см. выше). Очевидно, наблюдаемое движение в хлорбензоле является упомянутой реориентацией его молекул, происходящей в первоначальном потенциале с образованием ориентационных дефектов в кристаллической решетке. Как показывают оценки, основанные на величине параметров уравнений (1), (2), скорость этих реориентаций вблизи точки плавления хлорбензола несколько меньше  $10^4$   $\text{с}^{-1}$  и недостаточна для полного «увядания» сигнала ЯКР, что и наблюдается на опыте.

#### Список литературы

- [1] Andrew E. R. // J. Chem. Phys. 1950. V. 18. N 5. P. 607—618.
- [2] Andrew E. R., Eades R. G. // Proc. Roy. Soc. 1953. V. A218. P. 537—552.
- [3] Haaberlen U., Maier G. // Z. Naturforsch. 1967. Bd 22a. N 8. S. 1236—1241.
- [4] Van Steenwinkel R. // Z. Naturforsch. 1969. Bd 24a. N 10. S. 1526—1531.
- [5] Wendt J., Noack F. // Z. Naturforsch. 1974. Bd 29a. N 12. S. 1660—1665.
- [6] Noack F., Weithase M., von Schütz J. // Z. Naturforsch. 1975. Bd 30a. N 12. S. 1707—1714.
- [7] Медвед А. Е. // Радиоспектроскопия. Пермь, 1987. С. 178—183.
- [8] Бирюков И. П., Воронков М. Г., Сафин И. А. Таблицы частот ядерного квадрупольного резонанса. Л.: Химия, 1968. 140 с.
- [9] Dean C., Pound R. V. // J. Chem. Phys. 1952. V. 20. N 1. P. 195—196.
- [10] Ramakrishna J. // Indian J. Pure Appl. Phys. 1963. V. 1. N 9. P. 314—317.
- [11] Chihara H., Nakamura N. // Advances in Nuclear Quadrupole Resonance. London, 1980. V. 4. P. 1—69.
- [12] Sharma S., Weiden N., Weiss A. // Ber. Bunsenges. Phys. Chem. 1986. Bd 90. N 8. S. 725—730.

Пермский государственный университет

им. А. М. Горького

Пермь

Институт кристаллографии  
им. А. В. Шубникова АН СССР

Москва

Поступила в Редакцию  
30 сентября 1988 г.  
В окончательной редакции  
23 июня 1989 г.